

УДК 539.194

**ВЛИЯНИЕ  $n$ -ЭЛЕКТРОНОВ ГЕТЕРОАТОМА  
НА ОПТИЧЕСКИЕ СВОЙСТВА ПИРИДИНА, ХИНОЛИНА, АКРИДИНА**

*A. B. Калякин, Т. С. Сорокина и М. Г. Скворцов*

Для молекул пиридина, анилина, хинолина, акридина подобно молекуле 8-оксихинолина с увеличением энергии поля, вводимого в молекулу «комплекса» катиона, увеличивается степень локализации  $n$ -электронов, приводящее к уменьшению спин-орбитального взаимодействия. Последнее способствует увеличению степени сопряженности  $\pi$ -электронов, что приводит к увеличению интенсивности излучения, а также небольшому сдвигу максимумов излучения в длинноволновую область. Изменение спин-орбитального взаимодействия оказывает также влияние на вероятность интерконверсии, структуру и разрешенность спектра молекулы.

Ранее нами было показано, что оптические свойства комплексов с металлами 8-оксихинолина находятся в прямой зависимости от энергии поля катиона элемента. С увеличением энергии поля вводимого катиона наблюдается увеличение интенсивности люминесценции молекулы [1].

Для подтверждения вышеизложенного необходимо было проследить найденную зависимость на более простых молекулах, имеющих подобно оксихинолину гетероатом азота в кольце, и различное число сопряженных  $\pi$ -связей, а именно на молекулах пиридина, хинолина, акридина.

Были исследованы спектры люминесценции (флуоресценции и фосфоресценции) водных растворов пиридина, анилина, хинолина, акридина, их «комплексных» соединений с солями  $InCl_3$ ;  $GaCl_3$ ;  $AlCl_3$  и солянокислых солей (при молярном соотношении 1 : 2). Концентрация компонентов варьировалась в пределах  $10^{-1}$ — $10^{-3}$ %. Кроме водных растворов, в ряде случаев исследовали спиртовые и гексановые растворы. Регистрация спектров люминесценции проводилась на спектрометре СДЛ-1 в области 400—800 нм при температуре жидкого азота. Для возбуждения молекул пиридина и анилина использовалась лампа СВД-120А с фильтром УФС-1 и газовым фильтром, выделяющим линию  $\lambda=254$  нм. Для возбуждения молекул хинолина, акридина использовалась лампа ДРШ-250 со светофильтром УФС-2, выделяющим линию  $\lambda=313$  нм. В качестве приемника излучения использовали ФЭУ-39А и ФЭУ-62.

Люминесцентные свойства пиридина долгое время наблюдать не удавалось [2]. Ранее нами показано, что одной из причин слабой фосфоресценции пиридина является сильное спин-орбитальное взаимодействие вследствие наличия неподеленной пары электронов азота, находящейся на  $sp^2$ -орбитали в плоскости бензольного кольца. Действительно, связав  $n$ -электроны с помощью протона или кислот Льюиса, мы сильно увеличили интенсивность фосфоресценции [3].

Дальнейшие наши исследования показали, что интенсивность фосфоресценции (флуоресценция отсутствует) молекулы пиридина находится в прямой зависимости от энергии поля катиона, образующего «комплекс» с молекулой пиридина. В ряду  $In^{+3}$ ,  $Ga^{+3}$ ,  $Al^{+3}$  ( $E=3.83$ ,  $4.78$ ,  $5.53$  ед. заряда  $CГC\cdot см^{-2}\cdot 10^6$  соответственно), вступающих в донорно-акцепторную связь с  $n$ -электронами азота, с увеличением энергии поля катиона интенсивность фосфоресценции возрастает ( $I=17$ ,  $83$ ,  $126$  отн. ед. соответственно), достигая максимальной величины в солянокислом пиридине ( $I=1130$  отн. ед.), где отсутствуют  $n$ -электроны. При этом в рассмотренном ряду максимумы спектров фосфоресценции сдвигаются от 390 до 400 нм. Следует также отметить, что спектр фосфоресцен-

ции пиридина и его «комплексов» в воде бесструктурны, возможно, из-за наличия водородных связей с растворителем. Однако в циклогексане спектр фосфоресценции пиридина с солями и солянокислого пиридина приобретают структурный вид и напоминают спектр фосфоресценции его ароматического аналога, т. е. спектр фосфоресценции толуола, а не пиридина. Этот факт подтверждает правильность нашего предположения о выводе  $n$ -электронов из сопряжения с  $\pi$ -системой кольца и, следовательно, об уменьшении спин-орбитального взаимодействия.

Для молекулы анилина в рассмотренном ряду  $In^{+3}$ ,  $Ga^{+3}$ ,  $Al^{+3}$  аналогично наблюдается тенденция увеличения интенсивности фосфоресценции ( $I=25$ ,  $30$ ,  $42$  отн. ед.) и сдвига максимумов спектров фосфоресценции в длинноволновую область ( $378$ ,  $383$ ,  $403$  нм соответственно). Однако найденная зависимость проявляется гораздо слабее, возможно, благодаря тому, что гетероатом находится в боковой цепи кольца и степень локализации  $n$ -электронов оказывается на сопряженной с ним  $\pi$ -системой кольца в меньшей степени. Спектры анилина с солями и солянокислого анилина структурны даже в воде и также напоминают спектр фосфоресценции толуола.

Флуоресценция хинолина наблюдается лишь в полярных растворителях [2]. Наши исследования показали, что для молекулы хинолина в ряду хинолин—хинолин· $InCl_3$ —хинолин· $AlCl_3$ —хинолин· $HCl$  в водных растворах интенсивность флуоресценции возрастает ( $J=58$ ,  $97$ ,  $154$ ,  $200$  отн. ед.). Аналогичная тенденция наблюдается и в спиртовых растворах. Следует отметить, что максимумы спектров флуоресценции в водных растворах, представляющие собой широкие бесструктурные полосы, сдвигаются в указанном ряду от  $425$  до  $440$  нм. Согласно литературным данным, спектр фосфоресценции хинолина наблюдается лишь в неполярных растворителях [3]. Действительно, спектр фосфоресценции хинолина в гексане структурен и напоминает спектр фосфоресценции нафталина [4], при этом интенсивность фосфоресценции ( $\lambda_{\text{из}}=495$  нм) в рассмотренном ряду соответственно уменьшается ( $I=160$ ,  $101$ ,  $53$ ,  $23$  отн. ед.), возможно, благодаря уменьшению вероятности интерконверсии. Итак, для молекулы хинолина с увеличением энергии поля вводимого в «комплекс» катиона увеличивается степень локализации  $n$ -электронов азота, что приводит к увеличению интенсивности флуоресценции и уменьшению интенсивности фосфоресценции, следовательно, к росту  $I_{\text{фл.}}/I_{\text{фосф.}}$ . Следует отметить, что ранее найденная зависимость интенсивности излучения от энергии поля, вводимого в комплекс 8-оксихинолина катиона, верна и для «комплексов» хинолина. Это дополнительно подтверждает высказанное предположение, что за увеличение интенсивности излучения молекул 8-оксихинолина ответственно не пятичленное кольцо, образование которого невозможно для хинолина, а увеличение степени сопряженности  $\pi$ -электронов колец.

Флуоресцентные свойства акридина также известны [2]. Для молекулы акридина в ряду акридин—акридин· $InCl_3$ —акридин· $AlCl_3$ —акридин· $HCl$  в водных растворах интенсивность флуоресценции соответственно возрастает ( $I=10$ ,  $170$ ,  $180$ ,  $230$  отн. ед.). Аналогичная тенденция наблюдается в спиртовых растворах. Спектры флуоресценции рассмотренного ряда в водных растворах, за исключением акридин· $HCl$ , представляют собой широкие бесструктурные полосы, максимумы которых смещаются от  $490$  до  $525$  нм. Акридин· $HCl$  в водном растворе становится структурным и напоминает спектр флуоресценции антрацена [4]. Спектры фосфоресценции рассмотренного ряда в спиртовых растворах структуры и напоминают спектр фосфоресценции антрацена, максимумы спектров аналогично сдвигаются в длинноволновую область.

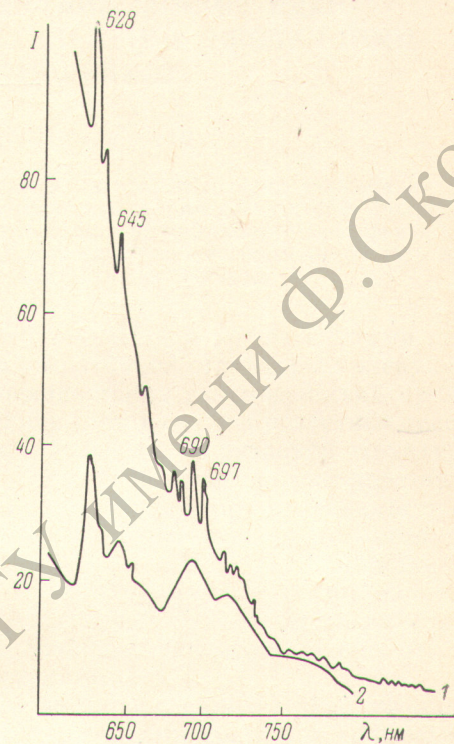
О фосфоресценции акридина данных нет, но вероятнее всего ожидать ее в ближней ИК области подобно антрацену [2]. Более того Эванс удалось наблюдать поглощение, обусловленное  $S_0 \rightarrow T$ -переходом акридина при  $15\ 800\ \text{см}^{-1}$  ( $\sim 630$  нм) [5]. Нам, действительно, удалось получить структурный спектр фосфоресценции акридина в гексане ( $628$ ,  $635$ ,  $645$ ,  $663$ ,  $680$ ,  $686$ ,  $690$ ,  $697$ ,  $712$ ,  $720$ ,  $730$ ,  $740$ ,  $750$ ,  $760$ ,  $767$ ,  $776$ ,  $786$  нм) (1) и толуоле (2) (см. рисунок).

Интенсивность фосфоресценции ниже интенсивности флуоресценции примерно на два порядка. В присутствии солей  $InCl_3$  и  $AlCl_3$  фосфоресценция «ком-

плексов» в гексане практически не наблюдается, возможно, благодаря уменьшению вероятности интерконверсии.

Приведенные экспериментальные и литературные данные показывают также, что спин-орбитальное взаимодействие  $n$ -электронов гетероатома с  $\pi$ -системой ароматического кольца оказывает влияние и на интеркомбинационные переходы молекулы. Так, для молекулы пиридина, где спин-орбитальное взаимодействие максимально, вероятность интеркомбинационных переходов настолько велика, что наблюдается лишь фосфоресценция молекулы. Далее, для молекулы хинолина, где в силу структуры молекулы спин-орбитальное взаимодействие становится меньше, наблюдается как флуоресценция, так и фосфоресценция (отношение их интенсивностей  $\sim 2$ ). И, наконец, для молекулы акридина, где спин-орбитальное взаимодействие становится еще меньше в связи с увеличением числа сопряженных  $\pi$ -связей, наблюдается практически лишь флуоресценция молекулы ( $J_{\text{фл.}}/J_{\text{фосф.}} \sim 100$ ). Таким образом, по мере увеличения  $\pi$ -системы молекулы уменьшается влияние  $n$ -электронов на ее люминесцентные свойства. Более того уменьшение влияния  $n$ -электронов сказывается и на структуре спектра фосфоресценции молекулы. Так, для молекулы пиридина свойствен свой спектр излучения. И только локализация  $n$ -электронов приводит к появлению спектра, подобного спектру его ароматического аналога, т. е. спектру толуола. Спектры излучения молекул хинолина и акридина подобны спектрам их ароматических аналогов (нафталина, антрацена) уже в отсутствие

Регистрограммы спектров фосфоресценции акридина в гексане (1), в толуоле (2).



солей. Локализация  $n$ -электронов гетероатома приводит лишь к увеличению интенсивности излучения. Следует отметить, что спин-орбитальное взаимодействие влияет на структурность спектра люминесценции, способствуя размыванию колебательных уровней, приводящее к уменьшению степени разрешенности спектра. Так, спектр фосфоресценции бензола в гексане более структурен и разрешен, чем спектр фосфоресценции пиридина в гексане. Для молекул хинолина по сравнению с нафталином и тем более акридина относительно антрацена влияние проявляется в гораздо меньшей степени. Далее, уменьшение степени спин-орбитального взаимодействия в ряду пиридин—хинолин—акридин приводит к увеличению структурности спектра излучения молекул.

Итак, для молекул пиридина, анилина, хинолина, акридина подобно молекуле 8-оксихинолина с увеличением энергии поля вводимого в молекулу «комплекса» катиона (акцептора электронов) увеличивается степень локализации  $n$ -электронов гетероатома, вплоть до полного вывода их в солянокислых солях. Одновременно с этим происходит уменьшение спин-орбитального взаимодействия  $n$ -электронов с  $\pi$ -электронами кольца, что способствует увеличению степени сопряженности  $\pi$ -электронов и, следовательно, увеличению интенсивности излучения. Наблюдается также небольшой сдвиг максимумов излучения в длинноволновую область. Изменение спин-орбитального взаимодействия оказывает также влияние на вероятность интерконверсии, структуру и разрешенность спектра молекулы.

Авторы считают своим приятным долгом выразить благодарность Л. И. Аникиной за участие в обсуждении результатов.

#### Литература

- [1] А. В. Калякин, Л. И. Аникина, Т. С. Сорокина. ДАН СССР, 241, 617, 1978.
- [2] Р. Н. Нурмухаметов. Поглощение и люминесценция ароматических соединений. «Наука», М., 1971.
- [3] А. В. Калякин, Л. И. Аникина, Т. С. Сорокина. ДАН СССР, 208, 630, 1973.
- [4] Т. А. Теплицкая, Т. А. Алексеева, М. М. Вальдман. Атлас квазилинейчатых спектров люминесценции. Изд. МГУ, М., 1978.
- [5] D. F. Evans. J. Chem. Soc., 1351, 1957.

Поступило в Редакцию 9 июля 1980 г.